

**РЕШЕНИЕ ЗАДАЧИ ОБ ОБТЕКАНИИ ТЕЛ ВРАЩЕНИЯ  
СВЕРХЗВУКОВЫМ ПОТОКОМ ГАЗА В ТЕОРИИ  
МАЛЫХ ВОЗМУЩЕНИЙ**

**В. И. ВАСИЛЬЧЕНКО, С. И. КУСАКИН**

(*Москва*)

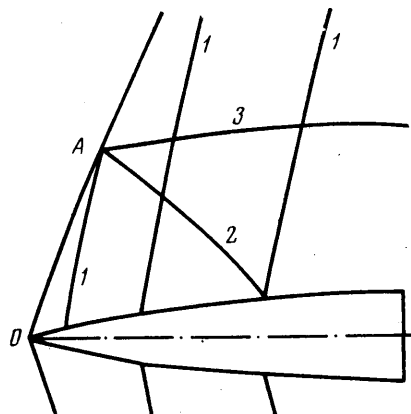
В настоящее время метод малого параметра широко применяется при решении многих задач аэродинамики. Он позволил получить результаты, интересные с практической точки зрения. В частности, решена задача, в которой рассмотрено существенно трехмерное поле течения около крыла конечного размаха, обтекаемого сверхзвуковым потоком газа [¹]. Однако в задаче об обтекании тел вращения применение метода наталкивается на определенные трудности. В настоящей работе в рамках теории малых возмущений рассмотрен способ получения решения, в котором этих трудностей можно избежать. При этом получаются простые аналитические выражения для аэrodинамических характеристик тел вращения, обтекаемых сверхзвуковым потоком газа. Приведено сравнение результатов с экспериментальными данными и расчетами, проведенными по методу характеристик.

**1. Постановка задачи об обтекании тела вращения сверхзвуковым потоком газа.** Осьсимметричное обтекание тела вращения сверхзвуковым потоком газа описывается системой уравнений гиперболического типа. При формулировке задачи нужно иметь в виду, что эта система имеет три семейства характеристик: характеристики первого и второго семейств и линии тока (линии 1–3 на фиг. 1).

Пусть заданы набегающий поток и положение скачка уплотнения. При этом задача формулируется таким образом: по заданным значениям газодинамических величин на поверхности сильного разрыва определить поле течения в области, ограниченной скачком уплотнения, характеристикой первого семейства и линией тока [²].

В линейной теории задача ставится по-другому. Волновое уравнение для определения потенциала в первом приближении имеет два семейства особых линий, совпадающих с невозмущенными характеристиками. Решение строится от тела, на поверхности которого должно выполняться условие непротекания, до характеристики первого семейства, разделяющей невозмущенную и возмущенную области потока. В таком виде задача формулируется после линеаризации уравнений и граничных условий.

Если же метод малого параметра применить к точно сформулированной выше нелинейной задаче, то ее постановка в каждом приближении должна сохраняться. Это значит, что поле течения определяется вплоть до заданной поверхности сильного разрыва, а возмущенные скорости не равны нулю в области между конусом Маха и скачком, как это имеет



Фиг. 1

место в линейной теории. Следовательно, необходимо более точно по сравнению с линейной теорией решать уравнение для потенциала вблизи скачка уплотнения.

Чтобы постановка задачи сохранялась, при линеаризации не должныискажаться особые линии, ограничивающие область, в которой задача ставится. Для этого рассмотрим систему уравнений, записанную вдоль границ этой области, т. е. систему уравнений в характеристической нормальной форме. В переменных  $\mu$  и  $v$ , постоянных соответственно вдоль характеристик первого семейства и линий тока, эта система имеет вид

$$\begin{aligned} v_x \frac{\partial r}{\partial \mu} - v_r \frac{\partial x}{\partial \mu} &= 0, \quad \frac{\partial r}{\partial v} - \lambda \frac{\partial x}{\partial v} = 0 \\ \frac{\partial p}{\partial \mu} - \frac{\kappa p}{\rho} \frac{\partial \rho}{\partial \mu} &= 0 \\ \rho v_x \frac{\partial v_x}{\partial \mu} + \rho v_r \frac{\partial v_r}{\partial \mu} + \frac{\partial p}{\partial \mu} &= 0 \\ \rho v_r \frac{\partial v_x}{\partial v} - \rho v_x \frac{\partial v_r}{\partial v} + \frac{v_x + \lambda v_r}{v_r - \lambda v_x} \frac{\partial p}{\partial v} + (v_r - \lambda v_x) \frac{v_r}{r} \frac{\partial x}{\partial v} &= 0 \\ \rho (v_r - \lambda v_x) \frac{\partial x}{\partial v} \frac{\partial v_r}{\partial \mu} + \frac{\partial x}{\partial v} \frac{\partial p}{\partial \mu} - \frac{\partial x}{\partial \mu} \frac{\partial p}{\partial v} &= 0 \end{aligned}$$

$$\lambda, \lambda' = (v_x v_r \pm a \sqrt{v_x^2 + v_r^2 - a^2}) / (v_x^2 - a^2)$$

( $a$  — скорость звука,  $\lambda$  и  $\lambda'$  — тангенсы углов наклона к оси  $x$  соответственно характеристик первого и второго семейств).

Исключая  $p$  и  $\rho$  с помощью соотношений

$$p = \left( \frac{a^2}{\kappa \theta} \right)^{\kappa/(k-1)}, \quad \rho = \left( \frac{a^2}{\kappa \theta^k} \right)^{1/(k-1)}, \quad \theta^k = \frac{p}{\rho^k}$$

( $\kappa$  — отношение удельных теплоемкостей) и полагая  $\theta = \text{const}$ , получим

$$(1.1) \quad \begin{aligned} \frac{\partial r}{\partial v} - \lambda \frac{\partial x}{\partial v} &= 0, \quad \frac{\partial r}{\partial \mu} - \frac{v_r}{v_x} \frac{\partial x}{\partial \mu} = 0 \\ \frac{\partial v_x}{\partial v} + \lambda' \frac{\partial v_r}{\partial v} &= a^2 \frac{v_r}{r(v_x^2 - a^2)} \frac{\partial x}{\partial v} \\ \frac{\partial v_x}{\partial \mu} \frac{\partial x}{\partial v} - \frac{\partial v_x}{\partial v} \frac{\partial x}{\partial \mu} + \frac{\partial v_r}{\partial \mu} \frac{\partial r}{\partial v} - \frac{\partial v_r}{\partial v} \frac{\partial r}{\partial \mu} &= 0 \end{aligned}$$

2. Применение метода малого параметра к точно сформулированной нелинейной задаче. Проведем линеаризацию данной системы уравнений, считая, что течение слабо отличается от невозмущенного. Ограничивааясь первым приближением и вводя потенциал скоростей  $\Phi$ , решение запишем в виде

$$\Phi = v_\infty (x + \varphi_1 + \dots), \quad x = x_0 + x_1 + \dots, \quad r = r_0 + r_1 + \dots$$

Видно, что при линеаризации системы уравнений в характеристической нормальной форме необходимо представлять в виде ряда по малому параметру не только потенциал, но и координаты. При этом деформации координат определяются однозначным образом из уравнений для особых линий. В частности, нужно уточнять положение характеристик первого семейства, что соответствует постулату Уитема [3].

Следует иметь в виду, что при формальной линеаризации системы уравнений (1.1), т. е. в том случае, когда в линеаризованных уравнениях сохраняются только члены одного и того же порядка малости, наклоны невозмущенной и возмущенной характеристик в первом приближении совпадают, а граничные условия сносятся со скачка уплотнения на характеристику невозмущенного потока. Это приводит к тому, что постановка задачи в первом приближении нарушается, так как скачок в результате линеаризации «исчезает». Рассмотрим, как нужно применять метод малого параметра, чтобы постановка задачи в каждом приближении сохранилась.

Задача построения поля скоростей по известным значениям газодинамических величин на поверхности сильного разрыва формулируется в области, ограниченной скачком уплотнения, характеристикой первого семейства и поверхностью тела (фиг. 1). Поэтому, чтобы область существования решения при линеаризации не искажалась, будем при определении наклонов характеристик учитывать и члены следующего порядка малости:

$$\lambda = \frac{1}{\beta_\infty} + \frac{M_\infty^2}{\beta_\infty^2} \varphi_{1r_0} - \left[ \frac{(\kappa+1)M_\infty^4}{2\beta_\infty^3} - \frac{M_\infty^2}{\beta_\infty} \right] \varphi_{1x_0} + \dots,$$

$$\frac{v_r}{v_x} = \varphi_{1r_0} + \dots, \quad \beta_\infty = \sqrt{M_\infty^2 - 1}$$

Получаем следующую систему уравнений в первом приближении:

$$(2.1) \quad \begin{aligned} \frac{\partial r_0}{\partial v} - \left\{ \frac{1}{\beta_\infty} + \frac{M_\infty^2}{\beta_\infty^2} \varphi_{1r_0} - \left[ \frac{(\kappa+1)M_\infty^4}{2\beta_\infty^3} - \frac{M_\infty^2}{\beta_\infty} \right] \varphi_{1x_0} \right\} \frac{\partial x_0}{\partial v} &= 0 \\ \frac{\partial r_0}{\partial \mu} - \varphi_{1r_0} \frac{\partial x_0}{\partial \mu} &= 0 \\ \frac{\partial \varphi_{1x_0}}{\partial v} - \frac{1}{\beta_\infty} \frac{\partial \varphi_{1r_0}}{\partial v} &= \frac{\varphi_{1r_0}}{\beta_\infty^2 r_0} \frac{\partial x_0}{\partial v} \\ \frac{\partial \varphi_{1x_0}}{\partial \mu} \frac{\partial x_0}{\partial v} - \frac{\partial \varphi_{1x_0}}{\partial v} \frac{\partial x_0}{\partial \mu} + \frac{\partial \varphi_{1r_0}}{\partial \mu} \frac{\partial r_0}{\partial v} - \frac{\partial \varphi_{1r_0}}{\partial v} \frac{\partial r_0}{\partial \mu} &= 0 \end{aligned}$$

Из последних двух уравнений имеем

$$\varphi_{1x_0r_0} + \left( \frac{r_{0v}}{x_{0v}} - \frac{1}{\beta_\infty} \right) \varphi_{1x_0r_0} - \frac{r_{0v}}{x_{0v}} \frac{1}{\beta_\infty} \varphi_{1r_0r_0} - \frac{1}{\beta_\infty^2} \frac{\varphi_{1r_0}}{r_0} = 0$$

Таким образом, уточнение наклона характеристик приводит к нелинейному уравнению для потенциала в первом приближении

$$\begin{aligned} \beta_\infty^2 \varphi_{1x_0r_0} + \left\{ M_\infty^2 \varphi_{1r_0} - \left[ \frac{(\kappa+1)M_\infty^4}{2\beta_\infty} - M_\infty^2 \beta_\infty \right] \varphi_{1x_0} \right\} \varphi_{1x_0r_0} - \\ - \left\{ 1 + \frac{M_\infty^2}{\beta_\infty} \varphi_{1r_0} - \left[ \frac{(\kappa+1)M_\infty^4}{2\beta_\infty^2} - M_\infty^2 \right] \varphi_{1x_0} \right\} \varphi_{1r_0r_0} - \frac{\varphi_{1r_0}}{r_0} = 0 \end{aligned}$$

Далее, чтобы удовлетворить граничным условиям на скачке, это уравнение можно решать приближенно, тщательно исследуя только область вблизи поверхности сильного разрыва. Именно в этой области линейная теория имеет особенность.

Решением уравнения вблизи границы, разделяющей возмущенную и невозмущенную части течения, является потенциал сверхзвуковых источников, который в отличие от линейного решения записан в деформирован-

ных координатах и вместо величины  $\beta_\infty^{-1}$  содержит тангенс угла наклона возмущенной характеристики на скачке  $\lambda$ .

$$\varphi_1 = -\frac{1}{2\pi} \int_0^{x_0-\eta_0} \frac{f_1(\xi) d\xi}{\sqrt{(x_0-\xi)^2 - \eta_0^2}} = -\frac{1}{\sqrt{2}\eta_0} F_1' + \frac{1}{8\eta_0\sqrt{2}\eta_0} F_1 + \dots$$

$$F_1(q_0) = \frac{1}{\pi} \int_0^{q_0} f_1(\xi) \sqrt{q_0 - \xi} d\xi, \quad q_0 = x_0 - \eta_0, \quad \eta_0 = \frac{r_0}{\lambda}$$

Найденное решение учитывает разворот потока на поверхности сильного разрыва и позволяет определить поле течения вплоть до границы области возмущений. Кроме того, даже в области за конусом Маха найденное решение более точно удовлетворяет уравнению, чем линейное.

Действительно, оценим точность первого приближения, для чего в уравнение

$$(a^2 - \Phi_x^2) \Phi_{xx} + (a^2 - \Phi_r^2) \Phi_{rr} - 2\Phi_x \Phi_r \Phi_{xr} + \frac{a^2}{r} \Phi_{rr} = 0$$

подставим  $\Phi = v_\infty(x + \varphi_1 + \Delta\varphi)$  и найдем порядок величины  $\Delta\varphi$ . Этот добавочный потенциал удовлетворяет следующему уравнению:

$$\begin{aligned} \beta_\infty^2 \Delta\varphi_{xx} - \Delta\varphi_{rr} - \frac{1}{r} \Delta\varphi_{rr} &= -[\beta_\infty^2 + (\kappa+1) M_\infty^2 \varphi_{1xx}] \varphi_{1xx} + \\ &+ [1 - (\kappa-1) M_\infty^2 \varphi_{1xx}] \varphi_{1rr} - 2M_\infty^2 \varphi_{1r} \varphi_{1xr} + \\ &+ \frac{1}{r} [1 - (\kappa-1) M_\infty^2 \varphi_{1xx}] \varphi_{1r} + \dots \end{aligned}$$

Здесь опущены члены порядка кубов скоростей и произведений квадратов скоростей на вторые производные потенциала ( $F_1''^3$  и  $F_1'''^2 F_1'''$ ). Подставляя найденное решение в правую часть уравнения и учитывая, что

$$\begin{aligned} \lambda &= \frac{1}{\beta_\infty} + \frac{M_\infty^2}{\beta_\infty^2} \varphi_{1r} - \left[ \frac{(\kappa+1) M_\infty^4}{2\beta_\infty^3} - \frac{M_\infty^2}{\beta_\infty} \right] \varphi_{1xx} + \dots \\ &\dots = \frac{1}{\beta_\infty} + \frac{(\kappa+1) M_\infty^4}{2\beta_\infty^3 \sqrt{2}\beta_\infty r} F_1'' + \dots \end{aligned}$$

получим

$$\Delta\varphi_r \sim O(F_1', F_1'', F_1' F_1''') + O(F_1''', F_1''^2 F_1''') \sim F_1' F_1'''$$

Таким образом,  $\Delta\varphi \sim F_1' F_1'' \ll \varphi_1$ , т. е. имеет порядок членов, учитывающих во втором приближении.

Чтобы оценить точность линейной теории, в правую часть уравнения подставим линейное решение

$$\begin{aligned} \varphi_1 &= -\frac{1}{2\pi} \int_0^{x-\beta_\infty r} \frac{f_1(\xi) d\xi}{\sqrt{(x-\xi)^2 - \beta_\infty^2 r^2}} = -\frac{1}{\sqrt{2}\beta_\infty r} F_1' + \\ &+ \frac{1}{8\beta_\infty r} \frac{1}{\sqrt{2}\beta_\infty r} F_1 + \dots \end{aligned}$$

$$F_1 = \frac{1}{\pi} \int_0^{x-\beta_\infty r} f_1(\xi) \sqrt{x-\beta_\infty r-\xi} d\xi$$

В результате получим

$$\Delta\varphi \sim O(F_1', F_1'' F_1''') + O(F_1'''', F_1'''^2 F_1''') \sim F_1'' F_1'''$$

Следовательно,  $\Delta\varphi \sim F_1' F_1''' \sim \varphi_1$ , т. е. имеет порядок членов, рассматриваемых при решении задачи в первом приближении. В задаче об обтекании конуса  $F_1 \sim \varepsilon^{12}$ ,  $q_0 \sim \varepsilon^4$ . Таким образом, в линейной теории  $\varphi_1 \sim \varepsilon^8$ ,  $\Delta\varphi \sim \varepsilon^8$ , в то время как для найденного решения  $\Delta\varphi \sim \varepsilon^{12}$ .

Рассмотрим теперь граничные условия на скачке уплотнения  $r=r_*(x)$ :  $x=v$ ,  $r=r_*(v)$

$$\varphi_x = -\frac{2(\beta_\infty^2 r_*'^2 - 1)}{(\kappa+1) M_\infty^2 (1+r_*'^2)}, \quad \varphi_r = \frac{2(\beta_\infty^2 r_*'^2 - 1)}{(\kappa+1) M_\infty^2 (1+r_*'^2) r_*'}$$

Проведем их линеаризацию, принимая за параметр малости величину  $\delta = \lambda - r_*$ . При этом  $\beta_\infty^{-1} = \lambda - 2\delta$ . В результате линеаризации получим

$$\varphi_x = -\frac{4\delta\lambda}{(\kappa+1)(1+\lambda^2)^2} + \dots, \quad \varphi_r = \frac{4\delta}{(\kappa+1)(1+\lambda^2)^2} + \dots$$

После удовлетворения граничным условиям на поверхности сильного разрыва придем к следующему уравнению:

$$F_1'' = \frac{1}{2\pi} \int_0^{q_0} \frac{f_1'(\xi) d\xi}{\sqrt{q_0 - \xi}} = \frac{4\delta\sqrt{2\lambda r_*}}{(\kappa+1)(1+\lambda^2)^2}$$

Для определения входящей в это уравнение неизвестной величины  $q_0$  необходимо построить ряды пространственных деформаций. Интегрируя первое уравнение системы (2.1), имеем

$$x = \beta_\infty r_* - \frac{(\kappa+1)(1+\lambda^2)^2}{2\lambda^2} \sqrt{\frac{2r_*}{\lambda}} F_1'' + q_0 + \dots$$

С другой стороны, так как  $r_*' = \beta_\infty^{-1} + \delta$ , то  $x = \beta_\infty r_* + (v/\lambda) l_1 + \dots$ , где  $l_1$  удовлетворяет соотношению  $\delta = -(vl_1)'$ . Отсюда найдем  $q_0 = -\frac{v}{\lambda} [4(vl_1)' - l_1]$ .

Это позволяет получить следующее интегральное уравнение для определения интенсивности источников

$$\int_0^{q_0} \frac{f_1(\xi) d\xi}{\sqrt{q_0 - \xi}} = \frac{16\sqrt{2}\pi}{(\kappa+1)(1+\lambda^2)^2} \frac{1}{v^{\kappa/2}} (vl_1' + l_1)^2$$

По заданному положению скачка уплотнения (или известной функции  $l_1$ ) можно построить поле течения вплоть до поверхности обтекаемого тела. В этой области полученное решение

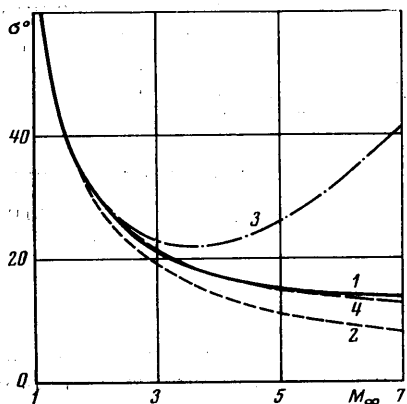
$$\varphi_1 = -\frac{1}{2\pi} \int_0^{x_0 - \eta_0} \frac{f_1(\xi) d\xi}{\sqrt{(x_0 - \xi)^2 - \eta_0^2}}$$

удовлетворяет уравнению для потенциала с той же точностью, что и линейное, так как наклон возмущенной характеристики на скачке  $\lambda$  отличается от  $\beta_\infty^{-1}$  на величину, которая в линейной теории отбрасывается. Однако это отличие, как было показано выше, существенно вблизи поверхности сильного разрыва.

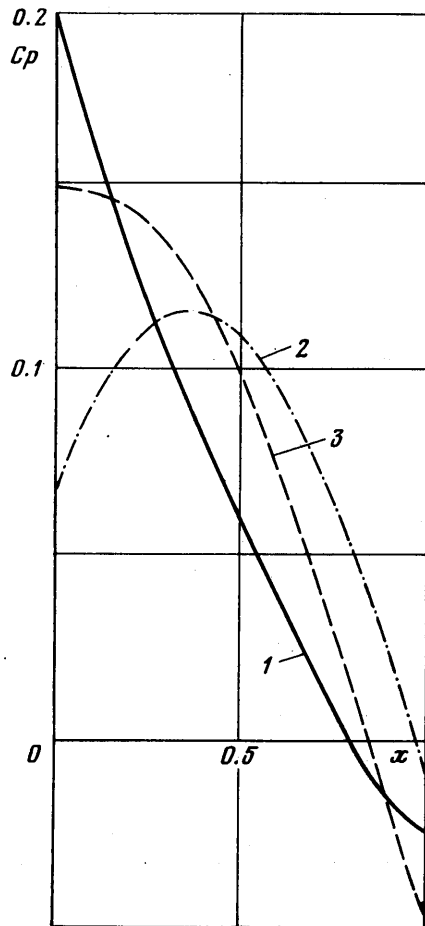
Так как вблизи тела

$$\varphi_1 = -\frac{f_1(x_0)}{2\pi} \ln \frac{2\lambda}{r_0} - \frac{1}{2\pi} \int_0^\infty f_1'(\xi) \ln(x_0 - \xi) d\xi + \dots$$

то из условия непротекания на его поверхности найдем, что  $f_1(x) = S'(x)$ , где  $S(x)$  — площадь поперечного сечения тела вращения.



Фиг. 2



Фиг. 3

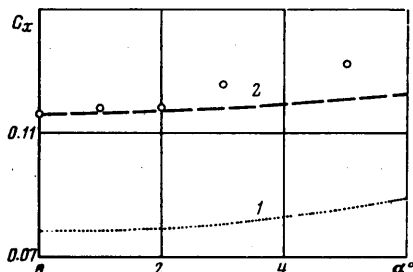
Таким образом, установлено соотношение между положением скачка и формой обтекаемого тела. Для тел вращения степенной формы это соотношение имеет вид

$$r_*' = \frac{1}{2} \left( \lambda + \frac{1}{\beta_\infty} \right), \quad \frac{1}{\beta_\infty} = \lambda - C(m) \frac{(x+1)^2 (1+\lambda^2)^4}{\lambda^3} \varepsilon^4$$

Влияние формы тела на положение скачка определяется функцией

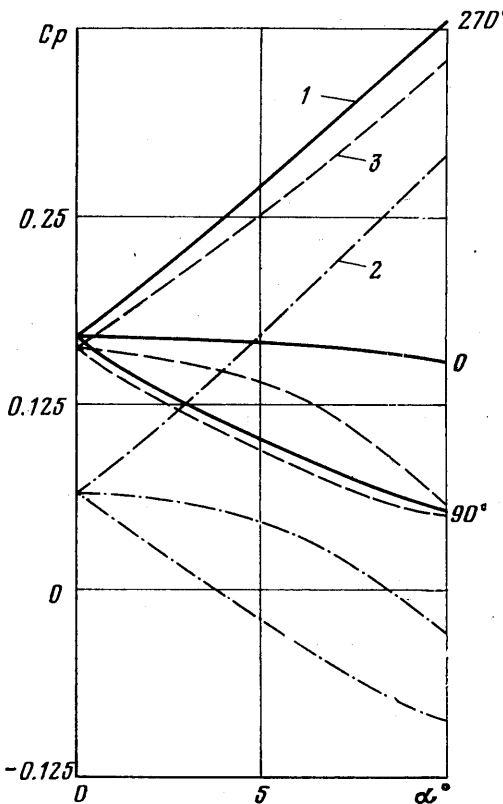
$$C(m) = (5-4m)^{4(1-m)} (4m-1)^{4m-4} \frac{m^2 \Gamma^4(2m)}{2^{8(1-m)} \Gamma^2(4m)}$$

где  $\Gamma(m)$  — гамма-функция.



Фиг. 4

Изложенный метод легко обобщается на случай обтекания тела вращения слабовозмущенным трехмерным потоком газа. Решение задачи представляется в виде потенциала источников и диполей, распределенных на оси тела вращения, который в отличие от решения линейного уравнения записан в деформированных координатах и вместо величины  $\beta_\infty^{-1}$  содержит тангенс угла наклона возмущенной характеристики на скачке  $\lambda$ . Можно показать, что это решение более точно описывает поле скоростей



Фиг. 5

вблизи скачка, чем решение линейного уравнения. Ниже даны результаты расчета осесимметричного обтекания и обтекания тел вращения под углом атаки.

**3. Результаты расчетов.** На основе полученных теоретических результатов были проведены расчеты аэродинамических характеристик тел вращения, обтекаемых осесимметричным сверхзвуковым потоком газа. На фиг. 2 приведены результаты расчетов угла наклона скачка уплотнения для случая обтекания конуса с углом полураствора  $\omega=10^\circ$  (1 — точное решение, 2 — линейная теория, 3 — решение Лайтхилла, 4 — предлагаемый метод). Полученные результаты хорошо согласуются с решением, найденным по методу характеристик [4] для тела вращения с обводом  $r=\epsilon(2x-x^2)$  при  $\epsilon=0.1428$ ,  $M_\infty=3$  (фиг. 3). На фигуре приняты следующие обозначения: 1 — точное решение, 2 — линейная теория, 3 — предлагаемый метод.

В случае обтекания тел вращения под углом атаки изложенным методом удалось добиться хорошего соответствия с точным решением и экс-

периментальными данными (экспериментальные результаты заимствованы из исследований П. Д. Михайлова) как при расчете коэффициентов аэродинамических сил (фиг. 4), так и при определении распределения давления на поверхности обтекаемого тела (фиг. 5). На фиг. 4 приведены результаты для тела вращения с обводом  $r = \varepsilon x^{3/4}$  при  $M_\infty = 4$  (1 — линейная теория, 2 — предлагаемый метод, 3 — эксперимент). На фиг. 5 приведены данные для конуса с  $\omega = 15^\circ$  при  $M_\infty = 3$  (1 — точное решение, 2 — линейная теория, 3 — предлагаемый метод) в трех сечениях, которые в цилиндрической системе координат определяются углами, равными 0, 90 и  $270^\circ$ .

При обработке экспериментальных данных были учтены поправки на донное сопротивление и сопротивление трения при нулевом угле атаки.

В заключение авторы благодарят В. В. Сычева за обсуждение результатов работы.

Поступила 2 IX 1976

#### ЛИТЕРАТУРА

1. Кусакин С. И., Притуло М. Ф. Метод деформированных координат в задаче обтекания крыла сверхзвуковым потоком газа. В сб. «Аэромеханика». М., «Наука», 1976.
2. Майер Р. Е. Метод характеристик в задачах о течениях сжимаемой жидкости, зависящих от двух переменных. В сб. «Газовая динамика», М., Изд-во иностр. лит., 1950.
3. Whitham G. B. The behaviour of supersonic flow past a body of revolution, far from the axis. Proc. Roy. Soc., London, Ser. A, 1950, vol. 201, N 1064.
4. Русанов В. В., Нажесткина Э. И. Волновое сопротивление тел вращения степенной формы (осесимметричное обтекание). М., 1972, (Ин-т прикл. матем. Препринт № 33).